

С.Л.ВОТЯКОВ, Н.С.БОРОДИНА, В.Н.БЫКОВ,  
И.Н.БУШЛЯКОВ, А.В.МИРОНОВ

МЕССБАУЭРОВСКАЯ СПЕКТРОСКОПИЯ БИОТИТОВ  
ИЗ ГРАНИТОИДОВ УРАЛА

Впервые выполнено исследование биотитов из различных гранитоидов Урала методом мессбауэровской спектроскопии, что позволило определить положение разновалентных ионов железа в структуре биотитов. Наиболее перспективно, на наш взгляд, сравнивать параметры биотитов из гранитоидов, различающихся по окислительно-восстановительным условиям формирования /3/, т.е. принадлежащих магнетитовой феррофации (фугитивность кислорода отвечает буферу  $\text{Fe}_3\text{O}_4 - \text{Fe}_2\text{O}_3$ , первичный высокожелезистый биотит переходит в более магнезиальный с выделением магнетита), безмагнетитовой феррофации (низкая фугитивность кислорода; все железо породы удерживается в темноцветных минералах), титаномагнетитовой (фугитивность кислорода примерно отвечает буферу  $\text{Ni} - \text{NiO}$ ; первичный титаномагнетит ассоциирует с железистыми темноцветными минералами). Изученные образцы принадлежат гранитоидам следующих массивов (в скобках – количество проб): магнетитовая фация – Карабулакский (1), Верхисетский (10), Малышевский (1), Кисегачский (2); безмагнетитовая фация – Адуйский (9), Еланчикский (2), Верхисетский (3), Кисегачский (2); титаномагнетитовая фация – Бердяушский (3), Новобурановский (1), Велиховский (1).

Для сравнения изучены биотиты из габброидов молостовского комплекса и из кристаллических сланцев ильменогорского и тараташского. Рассматриваемые биотиты по химическому составу и оптическим свойствам образуют в координатах конечных минералов флогопит (аннит) – истонит (сидерофиллит) поле, железистость в котором меняется от 30 до 80%, а содержание алюминия в четверной координации от I до I,25 форм. ед.

На основе данных мессбауэровской спектроскопии по методике /2, 4/ нами выполнены оценки степени окисления железа в биотитах и его распределение между неэквивалентными структурными позициями – тетраэдрами, цис- и трансоктаэдрами, в которых две OH-группы расположены в соседних или противоположных вершинах соответственно, а в остальных четырех находятся ионы кислорода.

На рис. I демонстрируется соотношение ионов  $\text{Fe}^{3+}$  и  $\text{Fe}^{2+}$  в цис- и трансоктаэдрах. Образцы располагаются в основном вдоль линии, соответствующей теоретическому соотношению цис- и транспозиций в структуре биотита, равному

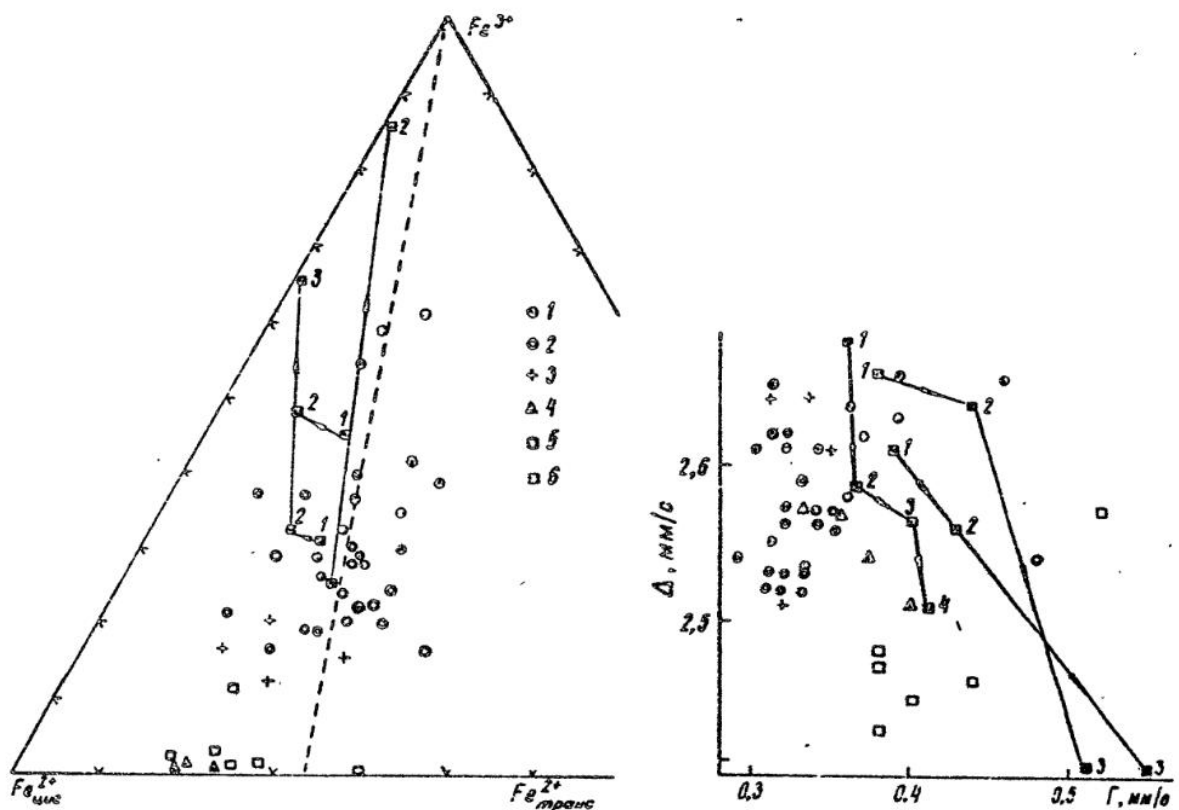


Рис. 1. Соотношение количеств ионов  $\text{Fe}^{3+}$  и  $\text{Fe}^{2+}$  в разных структурных позициях биотитов.

1-3 – феррофации гранитоидов: 1 – магнетитовая, 2 – безмагнетитовая, 3 – титаномагнетитовая; 4 – габброиды; 5 – метаморфиты; 6 – по данным работ /1, 2/: исходное состояние образцов (1), после отжига при 550 (2), при 600 (3), при 650°C (4)

Рис. 2. Соотношение квадрупольного расщепления  $\Delta$  и ширины  $\Gamma$  линии ЯГР от ионов  $\text{Fe}_{\text{цис}}^{2+}$ .

Условные обозначения те же, что на рис. 1

2:1. Тем не менее отчетливо видно, что биотиты из высокотемпературных парagenезисов, слагающих метаморфиты, габбро, гранитоиды титаномагнетитовой феррофации, обогащены  $\text{Fe}_{\text{цис}}^{2+}$ , в то время как биотиты из гранитоидов магнетитовой феррофации – ионами  $\text{Fe}_{\text{транс}}^{2+}$ . В целом с ростом доли трехвалентного железа в образцах уменьшается относительное количество  $\text{Fe}_{\text{цис}}^{2+}$ , а доля  $\text{Fe}_{\text{транс}}^{2+}$  при этом остается примерно постоянной. Таким образом, наблюдается качественное отличие рассматриваемой серии первичных биотитов от серии выветрелых /2/; в последнем случае окисление железа идет в большей степени за счет  $\text{Fe}_{\text{транс}}^{2+}$ , наблюдается вынос ионов  $\text{Fe}_{\text{транс}}^{2+}$  из структуры минерала, вследствие чего по мере увеличения степени окисления железа отношение  $\text{Fe}_{\text{цис}}^{2+}/\text{Fe}_{\text{транс}}^{2+}$  возрастает. На предложенной диаграмме (см.рис. 1) выветрелые биотиты образуют обособленное поле.

Нами отмечено также, что изученные образцы значимо различаются по таким параметрам мессбаузровского спектра, как значение квадрупольного расщепления  $\Delta$  и ширина линий Г сигналов от ионов  $Fe^{2+}$  и  $Fe^{3+}$ . Наибольшие значения  $\Delta$  у  $Fe^{2+}$  характерны для образцов из гранитоидов магнетитовой феррофации. В биотитах титаномагнетитовой и безмагнетитовой феррофации – пониженные значения квадрупольного сдвига, причем для первых характерны значительные колебания этой величины по образцам из разных массивов. Мессбаузровский параметр  $\Delta$  весьма чувствителен к симметрии ближайшего окружения иона  $Fe^{2+}$ , он снижается как при замещении  $OH^-$ -групп на ионы  $F^-$  ( $Cl^-$ ), так и при образовании вакансии водорода (депротонизации  $OH^-$ -группы). Полученные экспериментальные данные свидетельствуют о том, что в биотитах безмагнетитовой феррофации позиции ионов  $Fe^{2+}$  наиболее искажены по сравнению с таковыми в минерале с идеальной структурой. Это хорошо согласуется с результатами химических анализов и литературными данными о высоком содержании F в биотитах из глубинных плутонических гранитов, относящихся к безмагнетитовой феррофации. Тем не менее строгой количественной связи между мессбаузровским параметром  $\Delta$  и составом образца в по галогену не прослеживается. По-видимому, при вхождении галогенов в биотит происходит их неравномерное, негомогенное распределение по объему /5/, образуются домены, обогащенные ионами F<sup>-</sup> и Mg<sup>2+</sup>, а содержание катионов Fe<sup>2+</sup> в них понижено. Вследствие этого связи ЯГР параметра ионов Fe<sup>2+</sup> с общим содержанием F<sup>-</sup> не устанавливаются.

По величине ширины линий ЯГР ионов Fe<sup>2+</sup> группа биотитов магнетитовой феррофации существенно неоднородна (рис. 2). Та часть из них, которая характеризуется уширенными линиями, на наш взгляд, фиксирует разные стадии процесса окисления биотита, сопровождающегося выделением железа в виде магнетита, что и вызывает большой разброс как симметрийных, так и размерных параметров полиздротов Fe<sup>2+</sup> по объему образцов и уширение линий ЯГР. Напротив, для всех биотитов титаномагнетитовой и безмагнетитовой феррофаций ширины линий ЯГР от Fe<sup>2+</sup> составляют 0,31–0,35 мм/с, т.е. свойства каждого из образцов характеризуются большей однородностью, что, по-видимому, отражает первично магматические условия их кристаллизации.

Высокие значения ширины Г и наиболее низкие значения  $\Delta$  характерны для биотитов из метаморфитов и габброидов. В работе /1/ показано, что отжиги биотитов в лабораторных условиях вызывают значительное уменьшение параметра квадрупольного расщепления линий Fe<sup>2+</sup> и увеличение их ширины (рис. 2). Отжиг, стимулируя разрушение OH<sup>-</sup>-групп, их депротонизацию, приводит к изменению и ионо-близайшего окружения ионов Fe<sup>2+</sup> – оно становится либо чисто кислородным, либо содержит лишь одну OH-группу. Изменяется симметрия позиций, различие между цис- и транс-октаэдрами структуры нивелируется. ЯГР-параметры ионов Fe<sub>12</sub> цис и Fe<sub>12</sub> транс у отожженных образцов сближаются. В целом полученные нами данные по значениям  $\Delta$  и Г согласуются с представлениями о генезисе биотитов: в образцах из метаморфитов, испытавших термические преобразования, значения  $\Delta$  для ионов Fe<sup>2+</sup> как в цис-, так и в транс-позиции наименьшие, а ширины линий, напротив, наибольшие.

Для изученной нами серии образцов средние значения изомерного сдвига  $\delta$  и  $\Delta$  ионов Fe<sup>3+</sup> составляют 0,72; 0,70 мм/с. Среднее значение квадрупольного

расщепления для уральских биотитов близко к таковому для ионов  $\text{Fe}^{3+}$  в цис - октаэдре /4/, но при этом средняя величина  $\delta$  существенно превосходит таковую для цис-позиции. По-видимому, это связано с изменением электроотрицательности окружающих ион  $\text{Fe}^{3+}$  лигандов в цис-октаэдре, в частности, вследствие изоморфного замещения  $\text{F}^- \rightarrow \text{OH}^-$ . Нельзя исключить влияния изоморфных замещений или вакансий в соседней октаэдрической позиции. Ширины линий спектра  $\text{Fe}^{3+}$  варьируют по образцам; наибольшие значения, как и в случае  $\text{Fe}^{2+}$ , характерны для биотитов магнетитовой феррофации. По-видимому, в процессе окисления этих биотитов реализуется большое число возможных позиций вхождения ионов  $\text{Fe}^{3+}$ , что и проявляется через уширение линии ЯГР от  $\text{Fe}^{3+}$ . Почти во всех изученных нами биотитах из метаморфитов сигналы ЯГР от ионов  $\text{Fe}^{3+}$  отсутствуют, что не позволило нам проанализировать влияние температурного фактора на параметры  $\Delta$  и  $\Gamma$  спектра ЯГР от ионов  $\text{Fe}^{3+}$ .

Представленные результаты свидетельствуют о том, что биотиты, кристаллизовавшиеся в разных обстановках, различаются как по характеру внутрикристаллического распределения ионов железа, так и по параметрам их мессбаузеровского спектра, что может быть использовано для петрологических построений.

#### Список литературы

1. Иваницкий В.П., Калиниченко А.М., Матяш И.В., Хомяк Т.П. Изучение процессов окисления и дегидроксилизации биотита в методами ЯГР и ПМР // Геохимия. 1975. № 12. С. 1864-1871.
  2. Калиниченко А.М., Литовченко А.С., Матяш И.В. и др. Особенности кристаллохимии слоистых алюмосиликатов по данным радиоспектроскопии. Киев: Наукова думка, 1973.
  3. Ферштатер Г.Б. Петрология главных интрузивных ассоциаций. М.: Наука, 1987.
  4. Dugay M.D. Mossbauer spectra of biotite from metapelites // Amer. Miner. 1990. Vol. 75, № 5-6. P. 656-666.
  5. Sanz J., Gonzalez-Carreno T., Gancedo R. On dehydroxylation mechanism of a biotite in vacuo and in oxygen // Phys. Chem. Miner. 1983. Vol. 9. P. 14-18.
-